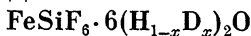


УДК 539.89 : 536.424.1

© 1991

## ФАЗОВАЯ ДИАГРАММА КРИСТАЛЛОВ

И СТРУКТУРНЫЕ ПЕРЕХОДЫ В СЕМЕЙСТВЕ  $\text{ABF}_6 \cdot 6\text{H}_2\text{O}$ 

И. Н. Флёрөв, М. В. Горев, К. С. Александров

Изучено влияние гидростатического давления на кристаллы  $\text{FeSiF}_6 \cdot 6(\text{H}_{1-x}\text{D}_x)_2\text{O}$  с различным содержаниемдейтерия. Необычно сложную фазовую диаграмму этих кристаллов предложено рассматривать как гипотетическую обобщенную диаграмму, описывающую возможные фазовые переходы во всем семействе  $\text{ABF}_6 \cdot 6\text{H}_2\text{O}$ .

В семействе кристаллов  $\text{ABF}_6 \cdot 6\text{H}_2\text{O}$  ( $A = \text{Zn}, \text{Co}, \text{Mg}, \text{Mn}, \text{Fe}; B = \text{Ti}, \text{Si}$ ) две группы соединений, отличающихся симметрией исходной фазы ( $R\bar{3}$  или  $R\bar{3}m, P\bar{3}, P\bar{3}m1$ ) и претерпевающих фазовые переходы ( $\Phi\Pi$ ) в моноклинную ( $P2_1/c$ ) или триклиновую ( $P\bar{1}$ ) фазы, характеризуются значительным отличием изменений энтропии  $\Delta S$  при  $\Phi\Pi$  и разным поведением под действием внешнего давления [<sup>1, 2</sup>]. Фазовый переход в кристалле  $\text{FeSiF}_6 \cdot 6\text{H}_2\text{O}$ , о симметрии которого существуют наиболее неоднозначные сведения [<sup>3-6</sup>], сопровождается изменением энтропии  $\Delta S = 0.5R$  [<sup>7</sup>]. Эта величина лежит в промежутке между малыми ( $\Delta S < 0.4R$ ) и большими ( $\Delta S > 0.7R$ ) величинами, характерными соответственно для первой и второй групп кристаллов.

В настоящей работе сообщаются результаты исследования влияния гидростатического давления на температуру  $\Phi\Pi$   $T_0$  двух кристаллов  $\text{FeSiF}_6 \cdot 6(\text{H}_{1-x}\text{D}_x)_2\text{O}$  с содержанием дейтерия  $x=0$  и  $0.5$  и обсуждаются общие черты и отличия фазовых диаграмм отдельных кристаллов семейства  $\text{ABF}_6 \cdot 6\text{H}_2\text{O}$ .

Методика измерения сдвига  $T_0$  аналогична использованной в [<sup>2</sup>]. Результаты исследований в области температур 185–350 К и давлений 0–5.8 кбар представлены на рис. 1. Первое, на что следует обратить внимание, — это отсутствие влияния давления на температуру  $T_0$  обоих образцов в пределах ошибки эксперимента  $dT_0/dp = 0 \pm 1$  К/кбар. Вторая особенность фазовой диаграммы — значительное усложнение ее по сравнению с диаграммами кристаллов второй группы, на которых было обнаружено существование лишь одной тройной точки [<sup>2</sup>]. Параметры тройных точек  $\text{FeSiF}_6 \cdot 6\text{H}_2\text{O}$  следующие:  $T_{tp}^1 = 225.5$  К,  $p_{tp}^1 = 0.17$  кбар;  $T_{tp}^2 = 333$  К,  $p_{tp}^2 = 3.58$  кбар;  $T_{tp}^3 = 267.5$  К,  $p_{tp}^3 = 4.80$  кбар. Влияние дейтерирования на фазовую диаграмму проявилось в смещениях линий  $\Phi\Pi$  и изменениях наклонов некоторых из них (рис. 1). Наибольшие изменения претерпели параметры тройной точки 3.  $T_{tp}^1 = 233$  К,  $p_{tp}^1 = 0.44$  кбар;  $T_{tp}^2 = 339$  К,  $p_{tp}^2 = 3.68$  кбар;  $T_{tp}^3 = 316$  К,  $p_{tp}^3 = 4.14$  кбар.

Таким образом, по характеру влияния давления на  $T_0$  и по общему виду фазовой диаграммы  $\text{FeSiF}_6 \cdot 6\text{H}_2\text{O}$  трудно отнести к какой-либо группе кристаллов, что соответствует и промежуточному значению  $\Delta S_0$ .

Появление различных фаз в кристаллах и их чередования при изменениях  $p$ ,  $T$  обусловлено взаимодействиями ионов, которые зависят от расстояний между ними. Характеристикой расстояний может служить,

например, величина объема кристаллографической ячейки. При приложении давления объем ячейки уменьшается и поведение кристалла может повторять поведение другого соединения (из этого же семейства), характеризующегося меньшим исходным объемом ячейки. Таким образом, в семействе кристаллов возможно существование гипотетического соединения, фазовая диаграмма которого является неким обобщением диаграмм других соединений. Одним из примеров могут служить результаты исследования галогенидов аммония  $\text{NH}_4\text{B}$  ( $\text{B}=\text{Cl}, \text{Br}, \text{I}$ ) [8].

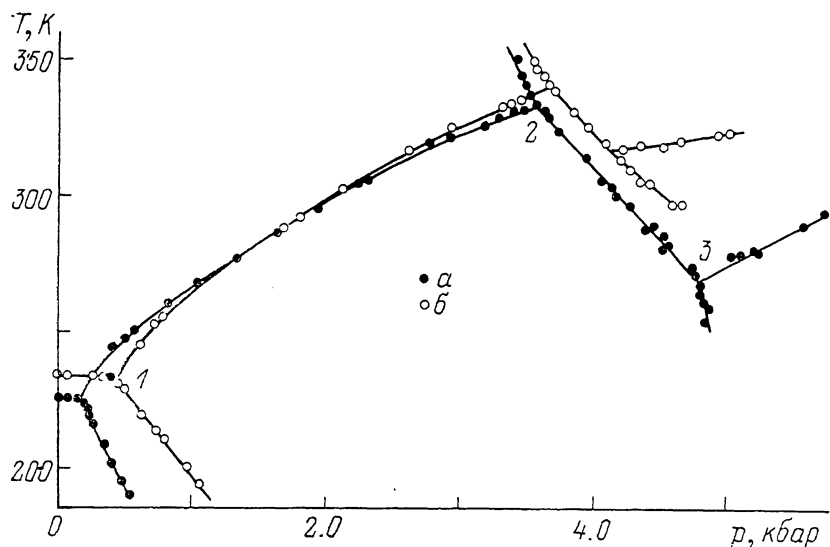


Рис. 1. Фазовые диаграммы кристаллов  $\text{FeSiF}_6 \cdot 6(\text{H}_{1-x}\text{D}_x)_2\text{O}$ .  $x=0$  (a),  $0.5$  (b).

Симметрия обнаруженных в настоящей работе и в [1, 2] высокотемпературных фаз и фаз высокого давления, к сожалению, не известна. Однако по результатам термодинамических исследований и на основании вышеизложенных соображений можно предположить, что диаграмма фторсиликата железа отражает наиболее полно спектр возможных ФП в семействе  $\text{ABF}_6 \cdot 6\text{H}_2\text{O}$ .

Объемы элементарных ячеек тригональной фазы кристаллов фторсиликатов и фортитанатов, рассчитанные по данным [3, 9-12], представлены в табл. 1. Сопоставляя величины  $V$  и индивидуальные фазовые диаграммы, можно выделить на обобщенной диаграмме характерные области (рис. 2). Обозначение фаз соответствует введенному в [2].

Таблица 1

Объемы элементарных ячеек в тригональной фазе фторсиликатов и фортитанатов  $\text{ABF}_6 \cdot 6\text{H}_2\text{O}$ .  $V=(3\sqrt{3}/2)a^2c$  Å<sup>3</sup>, где  $a$ ,  $c$  — параметры ячейки в гексагональной установке,  $Z=3$  [3, 9-12]

	Ni	Zn	Co	Mg	Mn	Fe
$\text{ASiF}_6 \cdot 6\text{H}_2\text{O}$	722.7	735.3	739.0	767.7	769.0	774.7
$\text{ATiF}_6 \cdot 6\text{H}_2\text{O}$	781.0	790.0	795.3		820.0	821.7

Область  $a$  соответствует малым значениям  $V$  и характеризуется отрицательным значением  $dT/dp$  для линии ФП I—III и наличием тройной точки I—III—V. Поведение  $T_0$  под давлением  $\text{CoSiF}_6 \cdot 6\text{D}_2\text{O}$ ,  $\text{MnTiF}_6 \cdot 6\text{D}_2\text{O}$  и  $\text{ZnTiF}_6 \cdot 6\text{D}_2\text{O}$  соответствует линии ФП I—III как по знаку и величине  $dT_0/dp$ , так и по невосприимчивости к замещению водорода дейтерием (табл. 2). Правда, в исследованном интервале  $p$ ,  $T$  в этих кристал-

лах не обнаружено тройной точки ни в водородсодержащих, ни в дегидрированных образцах. Вполне возможно, что эти особенности  $p$ ,  $T$  диаграмм будут обнаружены при более высоких давлениях.

Область  $b$  включает в себя область  $a$  и тройную точку  $I-II-III$ , реализующуюся при более высокой температуре и более низком давлении. Окрестности этой точки соответствуют фазовым диаграммам  $MgSiF_6 \cdot 6H_2O$ ,  $MnSiF_6 \cdot 6H_2O$  и, по-видимому,  $MgTiF_6 \cdot 6H_2O$  (неизвестны точные параметры решетки), объемы элементарных ячеек у которых больше, чем у кристаллов из области  $a$ . Линия ФП  $I-III$  этих кристаллов, так же как и кристаллов первой группы ( $R\bar{3}$ ), характеризуется отрицательной величиной  $dT_{I-III}/dp < 0$  (табл. 2). Причем для фтоританатов характерен значительно меньший сдвиг температуры ФП под давлением по сравнению с фторсиликатами. Это наводит на мысль, что искать тройную точку в области  $a$  следует для  $MnTiF_6 \cdot 6D_2O$ , отличающегося высокой температурой  $T_0$ . Малый объем элементарной ячейки и большой наклон линии ФП  $I-III$  являются, по-видимому, причинами отсутствия ФП во фторсиликатах цинка и никеля. Большое различие в величинах  $dT_{I-III}/dp$  для фтоританатов и фторсиликатов может быть связано, например,

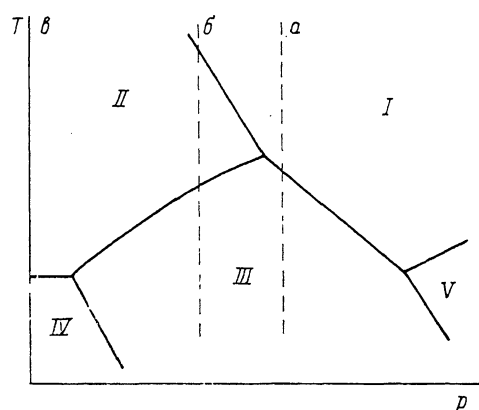


Рис. 2. Гипотетическая фазовая диаграмма и области существования фаз в разных группах кристаллов  $ABF_6 \times 6H_2O$ .

с наличием в тригональной фазе последних беспорядка атомов фтора, обнаруженного в [10] и обусловливающего повышенную восприимчивость кристаллов к внешним воздействиям.

Область  $b$  представляет собой обобщенную фазовую диаграмму и диаграмму  $FeSiF_6 \cdot 6H_2O$ , характеризующегося наибольшей величиной объема элементарной ячейки (табл. 1).

В исследованных в работе кристаллах ФП в фазы высокого давления являются превращениями первого рода. Для многих из них можно было выполнить оценки значений изменений энтропии путем сравнения с величинами  $\delta S$  ФП, существующих в условиях  $p=0$  (табл. 2). Наиболее достоверные результаты получены для окрестностей тройных точек, где выполнялось условие относительного постоянства скоростей изменения температуры при пересечении разных линий ФП. Из табл. 2 видно, что существует удовлетворительная корреляция величин  $dT_0/dp$  и  $\delta S/R$  для однотипных линий ФП во всех соединениях.

В калориметрических экспериментах, выполненных в [1], и при анализе результатов исследований [7, 13] были обнаружены скачки решеточной теплоемкости  $\delta C_{\text{реш}}/C_{\text{реш}}$  при  $T=T_0$  кристаллов  $MgTiF_6 \cdot 6D_2O$ ,  $ZnTiF_6 \cdot 6D_2O$ ,  $MgSiF_6 \cdot 6H_2O$ ,  $CoSiF_6 \cdot 6H_2O$  и  $FeSiF_6 \cdot 6H_2O$ . Такое поведение теплоемкости характерно для линий ФП  $I-III$ ,  $II-III$  и  $II-IV$  обобщенной фазовой диаграммы (рис. 2). На линии  $I-III$  величина  $\delta C_{\text{реш}}/C_{\text{реш}}$  наименьшая (см. табл. 1 [1]).

Если справедливо предположение об обобщенной фазовой диаграмме (рис. 2), то можно предложить следующие симметрии фаз. Пространственная группа  $R\bar{3}$  в фазе  $I$  была установлена надежно для целого ряда кристаллов [9, 10]. Симметрия фазы  $II$  наиболее неопределенная —  $R\bar{3}m$ ,  $P\bar{3}m1$  или  $P\bar{3}$  [3-5, 10], т. е. уверенно можно говорить лишь о принадлежности этой фазы к точечной группе симметрии  $\bar{3}$ , фаза  $III$  моноклинная

с пр. гр.  $P2_1/c$ , а IV фаза является триклинической ( $P\bar{1}$ ), судя по последним оптическим исследованиям  $\text{FeSiF}_6 \cdot 6\text{H}_2\text{O}$  [6]. О симметрии фазы V ничего определенного сказать нельзя, так как при условии  $p=0$  она не наблюдалась ни в одном из кристаллов семейства, а структурные исследования под давлением нам неизвестны.

Так как группа  $P2_1/c$  не является подгруппой  $R\bar{3}$  [14], то обе они представляют собой искаженные варианты высокосимметричной прафазы. В фазе I решетка может рассматриваться как ромбическая искаженная структура типа  $\text{CsCl}$ . В качестве прафазы такой структуры можно выбрать кубическую решетку с пр. гр.  $Pm3m$  ( $Z=1$ ), в которой могут быть разупорядочены как водородные связи, так и атомы фтора и кислорода. В зависимости от типа искажения возможны ФП в фазах с симметрией  $R\bar{3}m$  ( $Z=1$ ) и  $R\bar{3}$  ( $Z=1$ ). Первый случай связан с деформацией сжатия кубической ячейки вдоль оси  $\bar{3}$ , во втором случае деформация сжатия сопутствует поворотам октаэдров. В обоих вариантах выделяются характерные колонки чередующихся октаэдров, связанных тремя водородными связями. Судя по наклону линий ФП I-II на обобщенной фазовой диаграмме (рис. 2), можно, по-видимому, утверждать, что фаза II не принадлежит пр. гр.  $R\bar{3}m$  ( $Z=1$ ), отличающейся от фазы I ( $R\bar{3}$ ,  $Z=1$ ) статическим беспорядком атомов фтора и кислорода. Трудно представить причины, вызывающие появление такого беспорядка при понижении температуры. Та-

Таблица 2

Энтропии и сдвиг температур под давлением ФП на обобщенной фазовой диаграмме кристаллов семейства  $\text{ABF}_6 \cdot 6\text{H}_2\text{O}$ .  
Величины приведены для окрестности тройных точек. Для нелинейных границ даны интервалы изменения  $dT_i/dp$  ( $a-dT_i/dp$  К/кбар,  $b-\delta S/K$ )

	I-II		II-III		III-IV		I-III		II-IV		I-V		V-III	
	a	b	a	b	a	b	a	b	a	b	a	b	a	b
$\text{FeSiF}_6 \cdot 6(\text{H}_{1-x}\text{D}_x)_2\text{O}$	-100	0.9	+70 $\div$ +18	0.27	-94	0.45	-51.3	4.2	0	0.38	+27	0.48	-175	0.26
$x=0.5$	-80		+65 $\div$ +22		-63		-50		-112	0.6		-42		
$\text{MnSiF}_6 \cdot 6\text{H}_2\text{O}$	-412	0.46	+6.3	0.07			-90		-90	1.4				
$\text{MgSiF}_6 \cdot 6\text{H}_2\text{O}$	-192	0.4	+3.2	0.4			-36		-36	1.68				
$\text{MgTiF}_6 \cdot 6\text{H}_2\text{O}$			+5 $\div$ -4	0.28			-29.3		-29.3	0.83				
$\text{MnTiF}_6 \cdot 6(\text{H}_{1-x}\text{D}_x)_2\text{O}$	+10 $\div$ -42	0.84					-82		-82	0.64				
$x=0.5$							-82		-82	0.75				
$\text{CoSiF}_6 \cdot 6(\text{H}_{1-x}\text{D}_x)_2\text{O}$							-25.6		-25.6	0.95				
$x=0$							-25		-25	0.94				
$x=0.9$														
$x=0.53$														

ким образом, фаза  $R\bar{3}m$  ( $Z=1$ ) может быть только промежуточной между  $R\bar{3}$  и  $Pm\bar{3}m$ . В этой фазе водородные связи частично упорядочены. Упорядочение может нарастать при последующих ФП, связанных с взаимными разворотами водных и фторных октаэдров относительно средних положений. Такие превращения относятся к типу дисторсионных и не связаны с существенным изменением взаимного расположения и числа ближайших соседей. В этих условиях ФП происходит в одну из подгрупп  $R\bar{3}m$  и описывается термодинамической теорией [15].

ФП  $R\bar{3}m \rightarrow R\bar{3}$  происходит без изменения числа формульных единиц в ячейке и, следовательно, связан с одномерным представлением для точки Г зоны Бриллюэна [14]. ФП в моноклинную фазу  $R\bar{3}m \rightarrow P2_1/c$  сопровождается удвоением  $Z$  и связан с трехмерным представлением для точки  $M$  [15, 16]. ФП  $I-III$  происходит со сменой параметра порядка и представляет собой ярко выраженное превращение первого рода, что подтверждается калориметрическими экспериментами ( $\delta S = \Delta S$ ) на кристаллах  $\text{CoSiF}_6 \cdot 6\text{H}_2\text{O}$ ,  $\text{ZnTiF}_6 \cdot 6\text{H}_2\text{O}$  [1, 7]. Анализ ФП  $II-III$  и  $II-IV$  затруднен в связи с неоднозначностью определения симметрии фазы  $II$ .

Рассмотренные ФП связаны с взаимными разворотами октаэдров. Отсутствие заметной роли водородных связей в этих превращениях подтверждается результатами исследования влияния дейтерирования: небольшой сдвиг температур ФП и неизменность величины  $dT_0/dp$ . Что касается ФП  $III-IV$ ,  $I-V$  и  $V-III$ , то вполне возможно, что они сопровождаются значительными изменениями в системе водородных связей. Это видно из заметных изменений параметров тройной точки  $T_{tr}^3$  и  $p_{tr}^3$  и величины  $dT_{III-IV}/dp$   $\text{FeSiF}_6 \cdot 6\text{H}_2\text{O}$  при частичном дейтерировании (табл. 2).

Таким образом, суммируя результаты настоящей работы и данные [1, 2, 17], можно сделать следующие выводы. В семействе  $\text{ABF}_6 \cdot 6\text{H}_2\text{O}$  в зависимости от объема элементарной ячейки кристаллов реализуются единичные или последовательные ФП при изменении температуры и / или давления. Фазовая диаграмма кристалла  $\text{FeSiF}_6 \cdot 6\text{H}_2\text{O}$  наиболее полно отражает возможные варианты структурных превращений во всех исследованных кристаллах.

#### Список литературы

- [1] Флёроп И. Н., Горев М. В. и др. // ФТТ. Наст. вып. С. 1921—1929.
- [2] Горев М. В., Флёроп И. Н., Александров К. С. // ФТТ. 1991. Наст. вып. С. 2210—2212. Горев М. В. // ФТТ. 1983. Т. 25. № 2. С. 566—568.
- [3] Hamilton W. C. // Acta Crystallogr. 1962. V. 15. N 4. P. 353—360.
- [4] Jehanno G., Varret F. // Acta Crystallogr. 1975. V. A31. N 6. P. 857—859.
- [5] Chevrier G., Johanno G. // Acta Crystallogr. 1981. V. A37. N 4. P. 578—584.
- [6] Ерёменко В. В. и др. // Кристаллография. 1989. Т. 34. № 3. С. 658—662.
- [7] Weir R. D., Halstead R. E., Stawley A. K. // J. Chem. Soc. Faraday Trans. 1985. V. 2. N 81. P. 189—197.
- [8] Andersson P., Ross R. G. // J. Phys. C. 1987. V. 20. N 29. P. 4737—4743.
- [9] Chattopadhyay T. et al. // J. Phys. C. 1988. V. 21. N 8. P. 1321—1334.
- [10] Ray S., Zalkin A., Templeton D. H. // Acta Crystallogr. 1973. V. B29. N 12.
- [11] Syoyama S., Osaki K. // Acta Crystallogr. 1972. V. B28. N 8. P. 2626—2627.
- [12] Kodera E., Torii A., Osaki K., Watanabe T. // J. Phys. Soc. Jap. 1972. V. 32. N 3. P. 863.
- [13] Weir R. D., Halstead R. E., Stawley K. // Faraday Discuss. Chem. Soc. 1980. N 69. P. 202—209.
- [14] Toledano P., Toledano J.-C. // Phys. Rev. 1977. V. B16. N 1. P. 386—407.
- [15] Лыбзиков Г. Ф., Флёроп И. Н., Искорнев И. М. и др. // Сб. «Ядерная магнитная релаксация и динамика спиновых систем». Красноярск, ИФ СО АН СССР, 1982.
- [16] Hatch D. // Phys. Rev. 1981. V. B23. N 5. P. 2346—2349.
- [17] Флёроп И. Н., Горев М. В., Мельникова С. В., Афанасьев М. Л., Александров К. С. // Препринт ИФ СО АН СССР. № 654Ф. Красноярск, 1990. 39 с.